

# استفاده از سیستم‌های گرمایش هیبریدی جهت تامین آسایش حرارتی

## با حداقل مصرف انرژی در ساختمان‌های مسکونی

مسعود میرزایی<sup>۳</sup>

دانشکده هوا و فضا

علی کشاورز<sup>۲</sup>

دانشکده مهندسی مکانیک

نبی جهانیغ<sup>۱</sup>

دانشکده فنی و مهندسی

دانشگاه صنعتی خواجه نصیرالدین طوسی

دانشگاه صنعتی خواجه نصیرالدین طوسی

دانشگاه زابل

(تاریخ دریافت: ۹۲/۲/۴؛ تاریخ پذیرش: ۹۲/۸/۸)

چکیده

هدف از این مطالعه، کاهش مصرف انرژی در یک ساختمان مسکونی همزمان با تامین آسایش حرارتی با استفاده از سیستم هیبریدی به جای سیستم رایج گرمایش محیط‌های داخلی (سیستم گرمایش جایه‌جایی) می‌باشد. در این سیستم، رساندن دما تا ۱۰ درجه سانتی‌گراد به روش جایه‌جایی و افزایش آن تا دمای آسایش به روش تابشی انجام شده است. دمای خشک، رطوبت نسبی، سرعت جریان هوا از عوامل تأثیرگذار بر آسایش حرارتی می‌باشند که در هر سیستمی با تغییر سطح و قدرت گرمکن، موقعیت دریچه ورود و خروج، سرعت هوا و رودی و جنس مصالح قابل کنترل می‌باشند. برای شبیه‌سازی، یک مانکن مجازی با ابعاد و شکل فیزیولوژیکی واقعی بهصورت ایستاده درون یک اتاق قرار گرفته و جریان اطراف آن حل شده است. برای بررسی میدان جریان و انتقال حرارت، معادلات پیوستگی، مومنتوم، انرژی و انتقال جرم و برای آسایش حرارتی معادلات فیزیولوژیکی همزمان با این معادلات حل شده‌اند. نتایج این تحقیق در مقایسه با نتایج ارایه شده در سایر مراجع از مطابقت خوبی برخوردار است. در سیستم گرمایش هیبریدی، توزیع سرعت، دما و رطوبت اطراف شخص همگن و یکنواخت می‌شود. سرعت موردنیاز برای تامین شرایط آسایش در محدوده استاندارد ۰/۲ متر بر ثانیه حاصل می‌گردد. این کاهش سرعت باعث کاهش میزان افت انتقال حرارت و مصرف انرژی در این سیستم‌ها، به ترتیب حدود ۲۵ و ۱۹ درصد می‌شود. با تغییر در مقاومت حرارتی دیواره نیز معادل ۸ درصد انرژی مصرفی کاهش می‌یابد.

**واژه‌های کلیدی:** گرمایش هیبریدی، آسایش حرارتی، انتقال حرارت، شبیه‌سازی، کاهش مصرف انرژی

## Using Hybrid Thermal Systems toward Thermal Comfort to Minimize Consumption Energy in Residential Buildings

N. Jahantigh

Faculty of Engineering  
University of Zabol

A. Keshavarz

Mechanical Engineering Department  
K.N. Toosi University of Technology

M. Mirzaie

Aerospace Department  
K.N. Toosi University of Technology

(Received:24/April/2013; Accepted: 30/October/2013)

### ABSTRACT

The aim of this paper is to decrease the energy consumption in a residential building and provide thermal comfort by using hybrid system instead of the conventional method (convection heating method). In this system, the temperature of the room is kept around 10°C by convection system and then is raised to the thermal comfort by radiant heater. Thermal comfort is affected by temperature, relative humidity and velocity of the air flow. These parameters can be controlled by changing surface and temperature of the heater, position and velocity of the inlet and outlet, and type of the materials. In this simulation a 3D model of a virtual standing thermal manikin with real dimensions is considered. The continuity, momentum, energy, species equations for turbulent flow and physiological equation for thermal comfort are numerically solved for heat, moisture and flow field. The obtained numerical results have a good agreement with the experimental results reported in the literature. The velocity, temperature and the relative humidity contribution around the manikin is more uniform in the hybrid system. The velocity that is needed to provide the thermal comfort is also equal to 0.2 m/s in this system. This reduction of the velocity causes the heat transfer losses and energy consumption to around 25% and 19%, respectively. Also, the energy consumption decreases equal to %8 due to thermal resistance variation in the walls.

**Keywords:** Hybrid Heating, Thermal Comfort, Heat Transfer Simulation, Energy Consumption Decrease

۱- استادیار (نویسنده پاسخگو): njahantigh@uoz.ac.ir

۲- دانشیار: keshavarz@kntu.ac.ir

۳- دانشیار: mirzaie@kntu.ac.ir

طریق جابه‌جایی حرارت موردنظر در آن ناحیه تامین گردد. با توجه به اینکه دمای آسایش هم متأثر از دمای جابه‌جایی و هم متأثر از دمای تابشی است. استفاده از هر یک از سیستم‌های گرمایشی، به صورت مجزا، باعث بالارفتن مصرف انرژی می‌شود و شرایط مطلوب آسایش حرارتی نیز در این حالت تامین نمی‌شود. استفاده از ترکیبی سیستم‌های گرمایشی ضمن کاهش مصرف انرژی سریع‌تر به دمای آسایش می‌رسد. پس سیستم‌های هیبریدی ضمن استفاده از هر دو روش انتقال حرارت، آسایش حرارتی را به نحو مطلوب تامین می‌کنند.

دمای خشک، رطوبت نسبی، سرعت جريان هوا از عوامل تأثیرگذار بر آسایش حرارتی می‌باشند که در هریک از سیستم‌ها با تغییر سطح و قدرت گرمکن، موقعیت دریچه ورود و خروج، سرعت هوای ورودی و جنس مصالح قابل کنترل می‌باشند. در تحقیقات انجام‌شده تاکنون، که به روش‌های آزمایشگاهی انجام شده است بررسی تأثیر همه پارامترهای موثر بر آسایش حرارتی به صورت همزمان امکان‌پذیر نبوده است. بنابراین محققین روش‌های عددی را برای حل میدان جريان به همراه کارهای آزمایشگاهی در سال‌های اخیر دنبال نموده‌اند.

تاکنون تجزیه و تحلیل هوای محیط‌های داخلی توسط محققین مختلف مانند اولسن<sup>۳</sup> و همکارانش انجام شده است [۳]. تحقیقات گذشته حاکی از این است که از بین سیستم‌های مختلفی که برای گرمایش محیط‌های داخلی استفاده شده است مردم در سیستم‌های دما پایین احساس آسایش حرارتی بیشتری دارند [۴].

در ادامه محققین کار خود را با مطالعه در حوزه‌های مختلف مانند مدل‌های آسایش حرارتی، شاخص‌های آسایش [۵]، آزمایش شاخص‌ها و مدل‌های آسایش در شرایط مختلف آب و هوایی [۶]، استانداردهای ملی و بین‌المللی آسایش حرارتی [۷]، بهینه‌سازی مدل‌های آسایش حرارتی، ملاحظات طراحی ساختمان‌ها براساس ایجاد شرایط آسایش حرارتی [۸]، محاسبه انتقال حرارت در اتاق در شرایط جابه‌جایی طبیعی و اجباری [۹]، محاسبه انتقال حرارت در اتاق در شرایط تابش خالص، مطالعات بر روی ساختمان‌های دارای سیستم‌های سرمایش و گرمایش جابه‌جایی و نیز ساختمان‌های دارای سیستم‌های سرمایش و گرمایش تابشی [۱۰]، شبیه‌سازی انتقال حرارت از بدن انسان با نرم‌افزارهای تجاری [۱۱].

## ۱- مقدمه

امروزه سیستم‌های تهویه مطبوع یکی از بخش‌های جدایی‌ناپذیر طراحی ساختمان‌ها به شمار می‌رود. از طرفی، طراحی دقیق سیستم‌های تهویه مطبوع، مستلزم پیش‌بینی صحیح شرایط آسایش حرارتی می‌باشد. به طور کلی از گذشته تاکنون هدف اصلی سیستم‌های تهویه مطبوع، ایجاد شرایطی مطلوب به منظور تأمین احساس آسایش حرارتی انسان‌ها بوده است. در سال‌های اخیر توجه همه محققین و دانشمندان مصرف انرژی در بخش ساختمان، به یافتن راه کارهای مناسب برای حفظ منابع انرژی و بهینه‌سازی مصرف انرژی و نیز تامین شرایط آسایش حرارتی معطوف شده است.

تحقیقات نشان داده است که احساس حرارتی افراد فقط تابعی از دما و رطوبت نسبی هوا نیست و به عوامل دیگری نیز وابسته می‌باشد. این عوامل به دو دسته، عوامل محیطی و عوامل انسانی تقسیم‌بندی می‌شوند. پارامترهای محیطی شامل دمای هوا، دمای متوسط تابشی، سرعت نسبی جريان هوا و رطوبت نسبی می‌باشد. پارامترها یا عوامل انسانی نیز شامل میزان فعالیت بدنی، ترخ متابولیک و نوع و میزان پوشش یا مقاومت حرارتی پوششی افراد می‌باشد [۱].

اولین بار فنگر<sup>۱</sup> برای بیان مقدار آسایش حرارتی افراد در یک محیط یک مدل تحلیلی پایا و بسیار ساده را براساس هفت عامل مؤثر مذکور ارائه نمود و براساس آن شاخص پی‌اموی<sup>۲</sup> را برای پیش‌بینی میانگین رأی افراد در شرایط حرارتی پایا معرفی کرد [۲].

روش‌های مختلفی برای افزایش کارایی سیستم‌ها وجود دارد. با تغییر مصالح (تغییر مقاومت حرارتی) دیواره‌ها می‌توان میزان افت انتقال حرارت را به میزان قابل توجهی کاهش داد. همچنانی با استفاده از سیستم‌های نوین گرمایشی مانند سیستم‌های هیبریدی علاوه بر کاهش افت حرارتی مصرف انرژی نیز به مقدار چشمگیری کاهش می‌یابد. سیستم‌های گرمایش هیبریدی از منابع مختلف انرژی و به صورت ترکیبی استفاده می‌کنند. این سیستم‌ها در مقایسه با سیستم‌هایی که یک منبع برای تولید دارند، از قابلیت اطمینان بالاتری برخوردارند.

در یک فضای مسکونی همیشه فضاهایی وجود دارد که امکان گرمایش از طریق تابش در آنجا نیست و لازم است از

1- Fanger

2- PMV (Predict Mean Vote)

## ۲- معادلات حاکم و روش حل

معادلات حاکم بر این میدان برای بررسی انتقال حرارت، رطوبت و جریان، معادلات پیوستگی، مومنتوم، انرژی و انتقال جرم برای جریان مغشوش و برای آسایش حرارتی معادلات فیزیولوژیکی می‌باشند که بهطور همزمان حل می‌گردند. بهدلیل مغشوش بودن جریان، معادلات اغتشاش و برای بررسی اثرات تابشی معادلات تابشی نیز در این مسأله باید حل گردد. برای بیان درجه یا مقدار آسایش حرارتی در یک محیط از معادله آسایش فانگر و ایده عملی پی ام وی (متوسط آرای پیش‌بینی) استفاده شده است [۲]. شکل کلی معادله باقی جرم به صورت معادله (۱) بیان می‌شود [۱۵]:

$$(1) \quad \frac{\partial \rho}{\partial t} + \frac{\partial}{\partial x_k} (\rho u_k) = 0.$$

معادله (۲) شکل کلی معادله باقی مومنتوم را نشان می‌دهد [۱۵]:

$$(2) \quad \rho \frac{\partial u_j}{\partial t} + \rho u_k \frac{\partial u_j}{\partial x_k} = \frac{\partial \sigma_{ij}}{\partial x_i} + \rho f_j.$$

معادله (۳) شکل کلی معادله انرژی می‌باشد [۱۵]:

$$(3) \quad \rho \frac{\partial e}{\partial t} + \rho u_k \frac{\partial e}{\partial x_k} = \sigma_{ij} \frac{\partial u_j}{\partial x_i} - \frac{\partial q_j}{\partial x_j}.$$

سمت چپ معادله (۳) نرخ تغییرات انرژی داخلی و سمت راست معادله عوامل تغییر در انرژی داخلی را نشان می‌دهد. اولین جمله تبدیل انرژی مکانیکی به گرمایی توسط تنش‌ها و جمله آخر نرخ گرمایی که از بیرون توسط رسانش افزوده می‌شود را نشان می‌دهد.

معادله (۴) معادله باقی گونه‌ها یا اجزاء است [۱۵]:

$$(4) \quad \frac{\partial}{\partial t} (\rho Y_i) + \nabla \cdot (\rho \bar{v} Y_i) = \nabla \left[ \left( \rho D_{i,m} + \frac{\mu_t}{SC_t} \right) \nabla Y_i \right] + S_i.$$

که،  $Y_i$  کسر جرمی محلی جزء  $i$  ام،  $D_{i,m}$  ضریب پخش جرمی جزء  $i$  و  $SC_t$  عدد توربولنت اشمیت و در آخر نیز ترم  $S_i$  هر گونه منبع دیگر را شامل می‌شود. شاخص پی ام وی براساس رابطه (۵) به دست می‌آید:

$$(5) \quad PMV = (0.303 \exp(-0.035M) + 0.028)L.$$

در رابطه (۵)،  $M$  نرخ متابولیک و  $L$  بار حرارتی بدن یا همان اختلاف بین گرمای تولیدشده در بدن و گرمای اталفی از سطح

مطالعه بر روی تأثیر هر یک از پارامترهای هفت گانه بر آسایش حرارتی و میزان اثر بخشی هر یک از آنها بر آسایش حرارتی و درنهایت بررسی تاثیرگذاری مقاومت حرارتی جدارهای مختلف مانند شیشه و دیوار بر روی آسایش حرارتی بهانجام رسانده‌اند [۱۲].

درسال‌های اخیر از گرمکن تابشی برای گرمایش محیط‌های داخلی استفاده شده است که در همین راستا جیت<sup>۱</sup> جیت<sup>۱</sup> و همکاران ضمن استفاده از گرمکن‌های تابشی با دمای بالا اثرات آنها بر آسایش حرارتی را برای پنجره‌ها با شیشه‌های مختلف بررسی نموده‌اند [۱۳]. در ادامه کیلیک<sup>۲</sup> و همکاران به کمک روش‌های عددی و آزمایشگاهی مدل‌های با شکل فیزیولوژیکی شبیه به انسان را تجزیه و تحلیل کرده‌اند و با حل میدان جریان به بررسی انتقال حرارت و جریان پرداخته‌اند [۱۴].

در تحقیقات گذشته برای بررسی میدان جریان ساده‌سازی‌های زیادی در هندسه مدل، اثرات تابشی، اثرات پنجره با شیشه‌های شفاف، اعمال شده است. در این مقاله ضمن استفاده از سیستم‌های هیبریدی سعی شده است این ساده‌سازی‌ها انجام نشود. بهروش عددی اثرات متقابل گرمکن و آسایش حرارتی شخص تعیین شده است. تأثیر سیستم گرمایشی هیبریدی بر آسایش حرارتی و نیز تأثیر مصرف انرژی نسبت به سیستم‌های گرمایشی جابه‌جایی و نیز تأثیر مصالح بر میزان انتقال حرارت و آسایش حرارتی در هریک از سیستم‌ها بررسی شده است. ضمناً شکل فیزیولوژیکی مانکن کاملاً منطبق بر هندسه واقعی بدن درنظر گرفته شده است. اثرات تابشی نیز بهدلیل استفاده از روش DO<sup>۳</sup> برای محاسبات تابشی به صورت دقیق مورد محاسبه قرار گرفته است که تاکنون در سایر مطالعات با این دقت مورد ارزیابی قرار نگرفته است. همچنین توجه اساسی در این مقاله بر روی مصرف کمتر انرژی توأم با تامین آسایش حرارتی بوده است.

به طور کلی، علاوه‌بر بررسی اثر پارامترهای هفت گانه بهطور همزمان و مقاومت دیواره در سیستم‌های هیبریدی، اثر عوامل ایجاد نارضایتی موضعی مانند کوران، تابش متقارن، گرادیان عمودی دما و نیز دمای کف نیز بررسی و کنترل شده است.

1- Jeet

2-Kilic

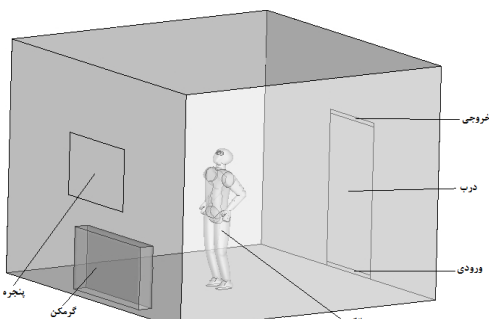
3-Discrete Ordinates

داخلی و جریان‌های با انتقال حرارت جابه‌جایی ترکیبی نتایج بهتری نسبت به سایر مدل‌ها دارد. معادلات ارائه شده همگی به فرم کلی هستند و برای حالت پایا ترم‌های زمانی آن حذف می‌شوند.

بهدلیل اینکه مدل DO محدوده معینی از ضخامت‌های نوری را پوشش می‌دهد و دربرگیرنده حل تابشی در دیوارهای نیمه‌شفاف می‌باشد و از طرفی هزینه محاسبات و همچنین حافظه موردنیاز در این مدل نسبتاً کم می‌باشد در این مطالعه برای بررسی تشعشع در مرزها استفاده شده است. در محاسبات دقت همگرایی برای معادله پیوستگی از مرتبه  $^{10}$  و برای معادله انرژی از مرتبه  $^{10}$  است. جهت بررسی دقت نتایج از مدل ارائه شده توسط موراکومی<sup>۲</sup> و همکاران استفاده شده است [۱۶].

### ۳- هندسه مسئله

هندسه مسئله شامل یک مانکن ایستاده و یک گرمکن تابشی می‌باشد که درون اتاق قرار گرفته است و در شکل ۱ نشان داده شده است. یک پنجره و یک درب و دو دریچه ورودی و خروجی در پایین و بالای این درب برای واردنمودن رطوبت و نیز تأمین گردش جریان و تأمین حرارت جابه‌جایی موردنیاز برای اتاق درنظر گرفته شده است. مدل و اتاق با نرم‌افزار سالید ورک<sup>۳</sup> طراحی شده است. این مدل با نرم‌افزار گمبیت<sup>۴</sup> شبکه‌بندی شده است. ابعاد اتاق  $4 \times 4 \times 3$  متر است. مانکن ۱/۷ متر قد و در حدود ۷۵ کیلوگرم جرم دارد. شکل ۱/۷ متر قدرت و در حدود  $1 \times 3$  متر و برای درب فیزیولوژیکی طراحی شده اجازه مقایسه نتایج با مدل واقعی و نتایج تجربی را می‌دهد. ابعاد پنجره  $1/2 \times 1$  متر و برای درب  $1 \times 2$  متر می‌باشد.



شکل (۱): شماتیک کلی اتاق و گرمکن.

بدن می‌باشد. این بار حرارتی براساس معادله (۶) به دست می‌آید.

$$(6) M - W = q_c + E_{sk} + q_{res} + E_{res}.$$

در معادله (۶)،  $E_{sk}$  نرخ اتلاف تبخیری از سطح پوست است.

$$(7) E_{sk} = \frac{w(P_{as} - P_a)}{Rcl}.$$

در رابطه (۷)،  $w$  رطوبت نسبی پوست،  $P_{as}$  (kPa) فشار بخار در سطح پوست،  $P_a$  (kPa) فشار جزئی بخار در محیط و  $Rcl$  ( $m^2 kPa/w$ ) مقاومت کل تبخیری لایه‌های پوست پوشش است.  $q_{res}$  نرخ تبادل حرارت جابه‌جایی و  $E_{res}$  نرخ تبادل حرارت تبخیری در تنفس است که به ترتیب از معادلات (۸) تا (۹) محاسبه می‌شوند؛

$$(8) q_{res} = 0.0014M(34 - T).$$

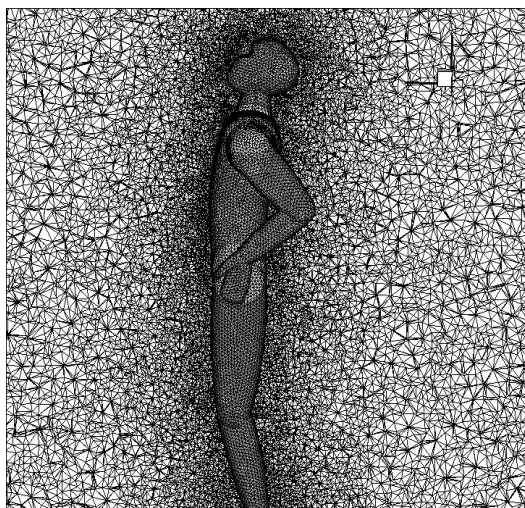
$$(9) E_{res} = 1.72 \times 10^{-5}M(5867 - P_a).$$

در معادله (۹)،  $T$  دمای میانگین محیط است. بهمنظور حل جریان در این مدل از یک کد کامپیوتوری سه‌بعدی پایا استفاده شده است که معادلات پیوستگی و انتقال حرارت و جرم را به طور همزمان حل می‌کند. برای معادله فشار از الگوریتم سیمپل<sup>۱</sup> استفاده می‌شود که در جریانات پایا بهتر از سایر روش‌ها عمل می‌کند و به علت استفاده از یک مرحله تصحیح در هر تکرار از بقیه سریع‌تر است و در سلول‌های هرمی و چهار وجهی پایدارتر و دقیق‌تر از سایر الگوریتم‌ها عمل می‌کند. ترم‌های جابه‌جایی با گسسته‌سازی مرتبه‌دوم مدل شده است. این روش با وجود اینکه در هر تکرار از روش مرتبه‌اول کندتر است، اما در تعداد تکرار کمتری همگرا شده و زمان حل را کاهش می‌دهد. به علاوه، به علت درگیر کردن گره‌های بیشتری نسبت به گسسته‌سازی مرتبه‌اول، از دقت و پایداری بیشتری برخوردار است.

علاوه بر معادلات فوق با داخل نمودن شتاب جاذبه، جابه‌جایی آزاد نیز وارد محاسبات شده است. مدل  $k - \epsilon$  برای مدل‌سازی جریان مغذی و روش DO برای بررسی اثرات تابشی درنظر گرفته شده است.

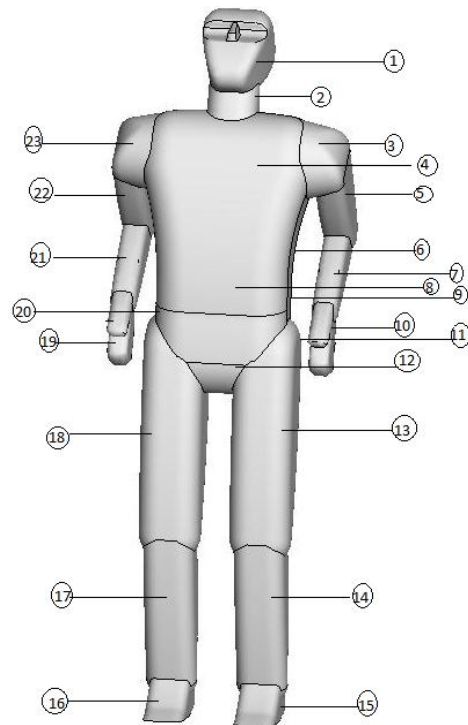
علت انتخاب مدل  $k - \epsilon$  برای اغتشاش در میدان حل سه‌بعدی این مطالعه، پایداری و دقت بالای آن است. این مدل به طور گستره‌های در اعداد رینولدز بالا به همراه قانون دیواره به کار می‌رود که برای مدل‌سازی جریان در محیط‌های

تمامی میدان حل امکان‌پذیر نیست. برای شبکه‌بندی، ابتدا سطح مدل با استفاده از یک شبکه بی‌سازمان مثلثی مش‌زده می‌شود. این نوع شبکه‌بندی، توانایی پوشش کوچک‌ترین سطوح مدل را نیز دارد. سپس فضای بین مدل و اتاق و گرمنک‌های حرارتی با الگوریتم T-GRID مش‌زده می‌شود. به علت اهمیت بررسی فضای اطراف شخص، اندازه شبکه در اطراف شخص باید ریز باشد برای انجام این کار از یک تابع توزیع مناسب که از لایه مرزی اطراف سطح آغاز و تا گام بیشینه فضا ادامه دارد، استفاده می‌شود. با توجه به تعداد زیاد سلول‌های محاسباتی و فیزیک جریان رسیدن به همگرایی از اهمیت بالایی برخوردار است و استقلال نتایج از شبکه اهمیت پیدا می‌کند. علاوه‌بر اینکه مقدار باقی‌مانده برای معادله پیوستگی، مومنتوم و انرژی نیز به دقت قابل قبولی رسیده است در این مسئله برای بررسی همگرایی، کمیت ضریب کلی انتقال حرارت نیز مورد بررسی قرار گرفته است. به‌منظور بررسی استقلال از شبکه، متوسط دمای حجمی، متوسط رطوبت نسبی، متوسط دمای تابشی و شار خروجی از سطح مانکن حرارتی برای تعداد سلول‌های مختلف محاسبه شده است. با رسیدن تعداد سلول‌ها در این مدل به تعداد ۵۸۷۴۳۶۹ سلول حجمی چهاروجهی و ۹۵۶۳۲۸۷ سلول سطحی تغییرات پارامترهای مورد بررسی، ثابت مانده است که نشان‌دهنده استقلال از شبکه مسئله مورد بررسی می‌باشد. در شکل ۳ شبکه محاسباتی بر روی سطح مانکن و فضای اتاق نشان داده شده است.



شکل (۳): شبکه محاسباتی در فضای اتاق.

اجزای مدل حرارتی به صورت شماتیک در شکل ۲ نشان داده شده است. کل مساحت سطح مانکن  $2/31\text{ m}^2$  مترمربع است.



شکل (۲): اجزای مدل حرارتی.

نام و مساحت اجزای مدل در جدول ۱ آمده است.

جدول (۱): نام و مساحت اجزای مختلف مدل.

| شماره   | نام سطح مدل     | مساحت $\text{m}^2$ |
|---------|-----------------|--------------------|
| ۱       | سر              | ۰/۱۵۸۹۸            |
| ۲       | گردن            | ۰/۰۲۸۹۲۴۶          |
| ۲۲۹۳    | کتف چپ و راست   | ۰/۰۴۸۲۴۹           |
| ۴       | سینه            | ۰/۰۲۳۴۸۱۲          |
| ۲۲ و ۵  | بازوی چپ و راست | ۰/۰۹۸۰۰۲۶          |
| ۲۰ و ۶  | پهلو چپ و راست  | ۰/۰۲۱۱۴۱           |
| ۲۱ و ۷  | ساعده چپ و راست | ۰/۰۶۸۷۱۵           |
| ۸       | شکم             | ۰/۰۳۸۹۵۱           |
| ۹       | کمر             | ۰/۰۲۱۰۵۰۲          |
| ۱۹ و ۱۰ | مج چپ و راست    | ۰/۰۵۲۱۶۳           |
| ۱۱      | باسن            | ۰/۰۴۱۲۸۸           |
| ۱۲      | لگن             | ۰/۰۲۷۳۱۳           |
| ۱۸ و ۱۳ | ران چپ و راست   | ۰/۰۲۸۷۵۴۸          |
| ۱۷ و ۱۴ | ساق چپ و راست   | ۰/۰۱۶۰۳۴۶          |
| ۱۶ و ۱۵ | پای چپ و راست   | ۰/۰۵۱۳۶۶           |
|         | کل              | ۲/۳۱۵۸۱۴           |

#### ۴- شبکه محاسباتی

به علت وجود سطوح بسیار کوچک و با شکل هندسی بسیار پیچیده در مسئله، عملأً استفاده از یک شبکه باسازمان در

حالتهای مختلف حل این مسأله در جدول ۳ آمده است.

جدول (۳): حالتهای مختلف حل مسأله.

| نوع حالت                  | حالت ۱    | حالت ۲  | حالت ۳  | حالت ۴  |
|---------------------------|-----------|---------|---------|---------|
| نوع سیستم                 | جابه‌جایی | هیبریدی | هیبریدی | هیبریدی |
| ضخامت دیواره (mm)         | ۲۵۰       | ۲۵۰     | ۲۵۰     | ۲۵۰     |
| ضریب هدایت پنجره (W/m.K)  | ۰/۱۸      | ۰/۱۸    | ۰/۲۴    | ۰/۲۴    |
| ضخامت پنجره (mm)          | ۲۵        | ۲۵      | ۲۵      | ۲۵      |
| ضریب هدایت دیواره (W/m.K) | ۰/۰۶      | ۰/۰۶    | ۰/۰۶    | ۰/۰۸    |

## ۶- نتایج و بحث

در سیستم هیبریدی هر یک از پارامترهای ورودی نظیر سطح دریچه ورودی، سرعت ورودی، قدرت گرمکن، موقعیت گرمکن در راستای طولی و عرضی و سطح گرمکن در شرایط بهینه شده قرار دارد. براساس این بهینه‌سازی که بهروش تکنیک طراحی آزمایش‌ها و از طرح دوستخی انجام شده است بهترین موقعیت برای دست یافتن به آسایش حرارتی قرارگرفتن گرمکن در رویه‌روی شخص و در زیر پنجره و سرعت برابر ۰/۱۵ متر بر ثانیه و سطح ۱/۲۸۳ مربع و دمای گرمکن برابر ۳۰ درجه سانتی‌گراد می‌باشد.

برای سیستم جابه‌جایی با توجه به تمام محدودیت‌های معماری و تأسیساتی موجود، بهترین مکان قرارگیری ورودی و خروجی مقابله‌کننده و در ارتفاع متفاوت (برای کم شدن ناحیه سکون) می‌باشد. در این وضعیت علاوه‌بر آسایش حرارتی کلی بدن، شار حرارتی خروجی از سطح بدن در تمامی اندام‌های متقارن بدن مانند دست‌ها و پاهای برابر شده ولی عوامل نارضایتی مانند کوران و گردایان عمودی دما در این سیستم‌ها باعث ایجاد نارضایتی موضعی گردیده است. برای سیستم جابه‌جایی مکان مناسب برای ورودی در پایین‌ترین ارتفاع ممکن از کف می‌باشد تا علاوه‌بر کاهش رطوبت نسبی، گرمایش با سرعت‌های پایین‌تر انجام شود تا میزان نارضایتی ناشی از کوران کاهش یافته و تأثیر جابه‌جایی آزاد که باعث کاهش مصرف انرژی به میزان قابل توجه می‌شود، افزایش یابد.

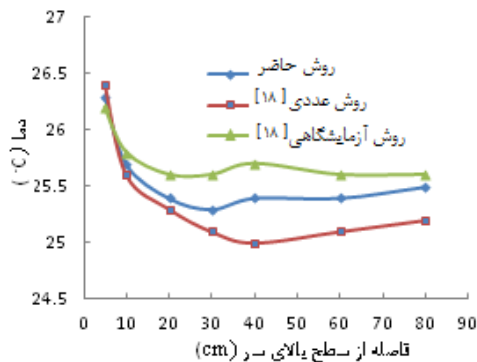
در ادامه، علاوه‌بر مقایسه بین دو سیستم جابه‌جایی و هیبریدی، اثر مقاومت حرارتی دیواره‌ها و پنجره در حالتی که از سیستم هیبریدی استفاده شود بر شار حرارتی و میزان اتلاف و میزان مصرف انرژی بررسی شده است و میزان عوامل نارضایتی چهارگانه کوران، تابش نامتقارن، گردایان عمودی دما

## ۵- شرایط مرزی

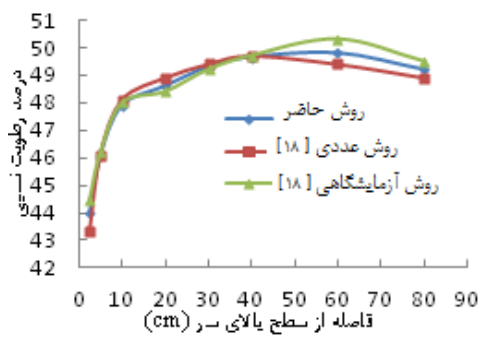
برای سیستم گرمایشی جابه‌جایی هوا با دمای ۲۲ درجه سانتی‌گراد و سرعت ۰/۵ متر بر ثانیه از طریق دریچه زیر پنجره وارد می‌شود و از دریچه بالای درب خارج می‌شود. بقیه شرایط شبیه حالت سیستم هیبریدی می‌باشد. در سیستم هیبریدی دمای گرمکن تابشی ۳۰ درجه سانتی‌گراد بوده و برای تأمین گردش جریان و نیز رساندن دمای اتاق به ۱۰ درجه سانتی‌گراد از طریق جابه‌جایی، هوا با دمای ۱۰°C و با سرعت ۰/۱۵ متر بر ثانیه از دریچه پایین درب وارد می‌شود. برای تأمین رطوبت مناسب، کسر جرمی بخار آب نیز در ورودی ۹/۵ گرم آب بر کیلوگرم هوا درنظر گرفته شده است. شرط مرزی در خروجی‌ها از نوع فشار بوده و مقدار نسبی فشار صفر پاسکال است. با توجه به تراکم ناپذیر جریان، در ورودی از شرط سرعت استفاده می‌شود. با توجه به استاندارد اشری<sup>۱</sup> ۲۰۰۰ نرخ متابولیسم برای حالت ایستاده بدون فعالیت برابر  $W/m^2$  ۱۰۴/۶ می‌باشد [۷]. دمای سطح مدل براساس معادله بالانس بین مرکز بدن، سطح پوست و محیط اطراف برای قسمت‌های دارای پوشش مانند پاهای، سینه، شکم و کمر برابر ۳۳/۱ درجه سانتی‌گراد و برای قسمت‌های بدون پوشش مانند سر، گردن، بازو و دست‌ها برابر ۳۳/۷ درجه سانتی‌گراد می‌باشد. کسر جرمی بخار آب در اطراف مدل برابر ۱۰ گرم آب بر کیلوگرم است. شرط مرزی کف اتاق دما ثابت و برابر ۲۵ درجه سانتی‌گراد می‌باشد. برای سایر دیوارها به جز دیواره دارای پنجره، شار صفر درنظر گرفته شده است. جنس سقف و دیواره‌ها از آجر معمولی بوده که مشخصات آن در جدول ۲ آورده شده است. ضربی انتقال حرارت برای دیوار دارای پنجره ۰/۲۵ W/m.K است. ضخامت تمامی دیوارها و سقف نیز ۰/۲۵ متر است. درب از جنس چوب بوده و ضربی انتقال حرارت برای آن ۱۵ w/m.K می‌باشد. مقدار ضربی صدور برای شخص ۰/۹۸ درنظر گرفته شده است.

جدول (۲): مشخصات فیزیکی درب و دیوارها [۷].

|                             | درب    | دیوار | پنجره |
|-----------------------------|--------|-------|-------|
| ضخامت(mm)                   | ۵۰     | ۲۵۰   | ۲۰    |
| (چگالی)(kg/m <sup>3</sup> ) | ۷۲۰/۸۳ | ۱۹۲۲  | ۲۵۰۰  |
| گرمایی ویژه(J/Kg-K)         | ۲۳۱۰   | ۸۴۰   | ۸۵۰   |
| ضریب رسانش(W/mK)            | ۰/۱۷۳  | ۰/۲۵  | ۰/۲   |
| ضریب صدور                   | ۰/۹    | ۰/۹۵  | ۰/۸۲  |



شکل (۵): مقایسه دمای به دست آمده با نتایج مرجع [۱۸].



شکل (۶): مقایسه رطوبت نسبی به دست آمده با نتایج مرجع [۱۸].

در ادامه برای وضعیت سوم که کمترین پی ام وی حاصل شده است کانتورهای سرعت، دما و رطوبت به عنوان نمونه آورده شده و پیرامون آنها بحث گردیده است. برای بقیه حالتهای فقط نتایج کلی در جدول ۵ ذکر شده است.

۸- توزیع سرعت برای سیستم هیبریدی در حالت سوم  
توزیع پارامترهای سرعت و دما و رطوبت نسبی برای فرد در  
سیستم هیبریدی در حالت سوم در شکل های ۷-۹ آورده شده  
است.

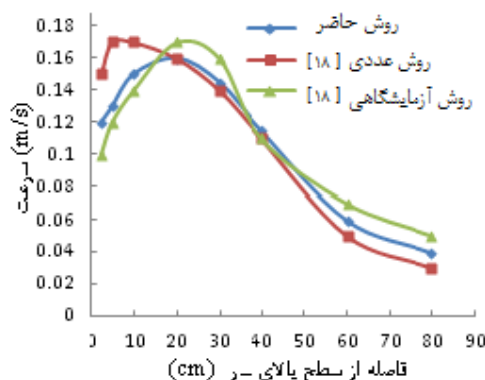
سرعت در نزدیکی سطح مدل بیشتر از نقاط دورتر از آن است. بیشترین سرعت در اطراف سر مدل می‌باشد زیرا دمای میانگین محیط در آن زیاد است و درنتیجه گرادیان دمایی موجود از مدل، به محیط در آن کوچکتر است و سرعت در آن تا حدی بیشتر می‌باشد. محدوده سرعت در اطراف شخص مطابق با استاندارد اشری می‌باشد. در محدوده اطراف شخص محدوده سکون وجود ندارد و سرعت نیز دارای مقادیر بالا نمی‌باشد در نتیجه شخص کاملاً احسان آسایش می‌کند. زیرا مقدار

و نیز دمای کف در سیستم هیبریدی مورد بررسی قرار گرفته است.

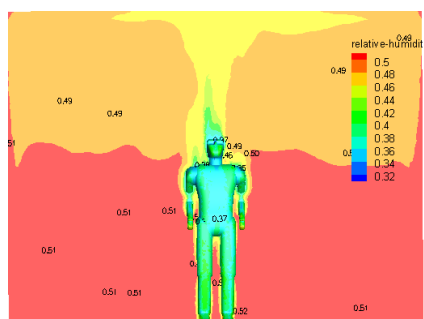
٧- اعتبار سنجی نتایج

برای بررسی صحت و دقت جواب‌ها، نتایج حاصل از این پژوهش با نتایج آزمایشگاهی و عددی مرجع [۱۸] مقایسه شده است. به‌این‌منظور نتایج این پژوهش با سرعت جریان، رطوبت نسبی و دما که در نقاط مختلف بالای سر مدل اندازه‌گیری شده است، مقایسه گردیده است. شکل‌های ۶-۴ به ترتیب به مقایسه بین سرعت، دما و رطوبت نسبی به‌دست آمده با نتایج عددی و تجربی محققین ذکر شده می‌پردازد. همان‌گونه که شکل ۴ نشان می‌دهد بیشینه اختلاف بین سرعت محاسبه شده با نتایج تجربی و عددی مرجع [۱۸] از ۲ درصد تجاوز نمی‌کند. تغییر اندک سرعت در راستای عمودی باعث می‌شود که میزان نارضایتی موضعی ناشی از کوران بسیار کاهش یابد و در محدوده استاندارد اشری قرار گیرد. این یکی از مزیت‌های این سیستم‌ها نسبت به سایر سیستم‌های رایج جایه‌جایی می‌باشد.

مقایسه بین دما و رطوبت نسبی محاسبه شده در شکل های ۵-۶ نیز دقต بالای محاسبات را تائید می کند. بیشینه اختلاف بین دمای محاسبه شده و نتایج تجربی و عددی  $\frac{3}{4}$  و  $\frac{1}{4}$  درجه سانتی گراد می باشد. تغییرات محدود دما در راستای عمودی باعث کاهش نارضایتی ناشی از گرادیان عمودی دما می شود که این نیز یکی دیگر از مزیت های این سیستم ها نسبت به سایر سیستم های گرمایش به حساب می آید. این مقادیر برای رطوبت نسبی نیز به ترتیب  $\frac{1}{5}$  و  $\frac{1}{4}$  درصد می باشد. بنابراین با توجه به نتایج مذکور می توان نتیجه گرفت که،  $\omega$ ، عددی، مهد استفاده دقیقاً قابل قبول است.



شکل (۴): مقایسه سرعت به دست آمده با نتایج مرجع



شکل (۹): توزیع رطوبت نسبی برای سیستم هیبریدی در حالت بهینه سوم.

با مشاهده کانتور سرعت در حالت‌های دیگر نیز مشاهده می‌گردد که در وضعیت هیبریدی تقارن بهتری بر جریان اطراف شخص حاکم می‌باشد. حتی در حالت دوم مقدار بیشینه سرعت کمتر بوده است و در محدوده  $0\text{--}2$  متر بر ثانیه قرار دارد که متناسب با شرایط آسایش مطابق استاندارد اش瑞 می‌باشد.

## ۱۰- آسایش حرارتی و مصرف انرژی

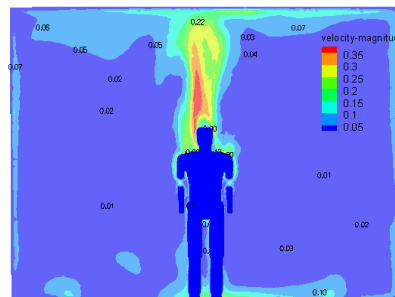
در جدول ۴ مقایسه بین شار جابه‌جایی و شار تابشی برای  
حالات اول و دوم آورده شده است که برای تمام اجزای بدن  
مقدار آن بیان شده است. غیر از نحوه تأمین انتقال حرارت بقیه  
پارامترها در دو وضعیت پکسان بوده است.

**جدول (٤):** مشخصات انتقال حرارت برای دو حالت.

| حالت دوم                      |                                   | حالت اول                      |                                   | نام سطح |
|-------------------------------|-----------------------------------|-------------------------------|-----------------------------------|---------|
| شار تابشی<br>W/m <sup>2</sup> | شار جابه جایی<br>W/m <sup>2</sup> | شار تابشی<br>W/m <sup>2</sup> | شار جابه جایی<br>W/m <sup>2</sup> |         |
| ۴۱/۵۳                         | ۳۹/۶۵                             | ۳۸/۶۱                         | ۴۳/۱۴                             | سر      |
| ۴۵/۴۵                         | ۳۴/۴۳                             | ۳۷/۴۴                         | ۳۵/۸۲                             | سینه    |
| ۴۶/۰۳                         | ۳۱/۹۲                             | ۳۵/۹۰                         | ۳۳/۷۳                             | شکم     |
| ۳۹/۹۵                         | ۳۰/۶۸                             | ۳۲/۲۷                         | ۳۱/۷۳                             | لگن     |
| ۳۸/۳۲                         | ۳۲/۵۷                             | ۳۱/۷۶                         | ۳۳/۳۲                             | کمر     |
| ۴۰/۲۳                         | ۳۱/۹۱                             | ۳۳/۷۹                         | ۸۴<br>۳۳/                         | باسن    |
| ۴۱/۳۹                         | ۳۶/۵۴                             | ۳۲/۴۷                         | ۳۷/۱                              | بازو    |
| ۳۹/۶۹                         | ۳۷/۶۱                             | ۳۰/۶۶                         | ۳۸/۳۵                             | ساعد    |
| ۵۴/۲۸                         | ۳۴/۲۹                             | ۳۸/۷۱                         | ۳۵/۲۷                             | کتف     |
| ۳۸/۸۹                         | ۴۰/۱۵                             | ۲۹/۲۴                         | ۴۱/۶۹                             | مج      |
| ۴۸/۳۷                         | ۳۳/۷۳                             | ۳۱/۶۹                         | ۲۴/۴۴                             | ران     |
| ۴۳/۸۴                         | ۴۰/۶۹                             | ۳۶/۱۰                         | ۴۱/۳۴                             | ساق     |
| ۴۲/۶۴                         | ۴۵/۳۱                             | ۳۴/۶۹                         | ۴۶/۸۱                             | پا      |
| ۴۵/۷۸                         | ۳۸/۶۲                             | ۳۵/۲۳                         | ۳۳/۳۶                             | گردن    |
| ۴۴/۱۸                         | ۱۹/۸۶                             | ۲۰/۹۷                         | ۲۲/۰۱                             | پهلو    |
| ۴۴/۳۵                         | ۳۵/۶۸                             | ۳۳/۷                          | ۳۷/۱                              | میانگین |

همان گونه که مشاهده می شود در حالت دوم که از سیستم همیز پیدی استفاده شده است یا بالارفتن شار تابش، معبار

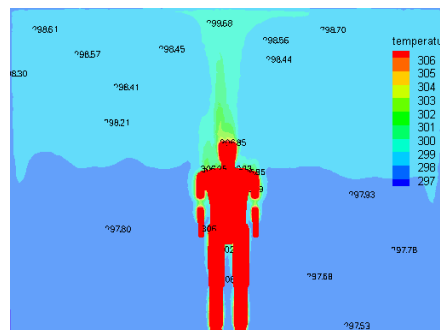
نارضایتی ناشی از کوران که بهدلیل اختشاشات بسیار سرعت  
به وجود می‌آید و باعث کاهش کارایی سیستم‌ها برای تأمین  
آسایش حرارتی می‌شود در این سیستم‌ها در محدوده استاندارد  
اشری (کمتر از ۵ درصد) شده است.



شکل (۷): توزیع سرعت برای سیستم هیبریدی در حالت سوم.

#### ۹- توزیع دما برای سیستم هیبریدی در حالت سوم

همان‌گونه که در شکل ۸ مشاهده می‌شود توزیع دما در محیط کاملاً یکنواخت می‌باشد. بیشترین دما در نزدیک سطح مدل و برابر با  $25/36$  درجه سانتی گراد و در بالای سر مدل می‌باشد. اختلاف دمای نواحی بالا و پایین برابر  $1/75$  درجه سانتی گراد است. توزیع مناسب در اطراف شخص یا همان حالت تقارن دمایی باعث می‌شود شخص در نقاط مختلف به صورت نقطه‌ای احساس بالا یا پایین‌بودن دما ننماید و درنتیجه به آسایش حرارتی مناسب برسد. هرچه یکنواختی بیشتر باشد نارضایتی ناشی از گرادیان عمودی در محدوده استاندارد اشري (کمتر از  $6$  درصد) قرار گرفته است. ضمن اینکه شاخص پي ام وى نيز در محدوده  $PMV \leq +0.5 - 0.5$  قرار دارد. اين محدوده نارضایتی کمتر از  $10$  درصد را بهمراه دارد.



شکل (۸): توزیع دما برای سیستم هیبریدی در حالت سوم.

براساس کانتور توزیع رطوبت نسبی مطابق شکل ۹، رطوبت اطراف شخص معادل ۴۶٪ تا ۵۰٪ می باشد و کمترین مقدار آن در نواحی اطراف گرمکن که بیشترین دما را دارد، مر باشد.

## استفاده از سیستم‌های گرمایش هیبریدی جهت تامین آسایش حرارتی...

به حالت سوم که مقاومت حرارتی دیواره کم بوده است کاهش انرژی معادل ۸ درصد ایجاد شده است.

## ۱۱- نتیجه‌گیری

در این مطالعه، به بررسی و مقایسه مقدار مصرف انرژی و چگونگی تامین آسایش حرارتی در سیستم‌های هیبریدی با سایر سیستم‌های معمول گرمایشی پرداخته شده است. علاوه‌بر این اثر مقاومت دیواره بر کارایی سیستم‌های هیبریدی بررسی شده است. در سیستم‌های هیبریدی قسمتی از شار موردنیاز بهروش جابه‌جایی و مابقی بهروش تابشی تأمین شده است. توزیع کاملاً یکنواختی در کانتورهای دما، رطوبت و سرعت در سیستم هیبریدی نسبت به سیستم جابه‌جایی ایجاد می‌گردد. چهار عامل نارضایتی ناشی از کوران، گرادیان عمودی دما، دمای کف، تابش نامتقارن که بهدلیل اختلاف زیاد سرعت در راستای عمودی، اختلاف زیاد دما در راستای عمودی، اختلاف زیاد در دمای سطوح تابش‌کننده و بالابودن دمای کف ایجاد می‌گردد، در سیستم‌های هیبریدی در محدوده استاندارد اشری قرار گرفته است و باعث افزایش کارایی این سیستم‌ها شده است. دما و سرعت موردنیاز برای رسیدن به شرایط آسایش در سیستم‌های هیبریدی نسبت به سیستم‌های جابه‌جایی بسیار کمتر می‌باشد و درنتیجه پدیده کوران و گرادیان عمودی دما در این سیستم‌ها ایجاد نمی‌شود. بهدلیل نوع قرارگیری گرمکن‌های تابشی و محدوده دمای سطح تابشی، میزان نارضایتی تابش نامتقارن در این سیستم‌ها کاهش یافته است. نیز همچنین ابعاد دریچه موردنیاز برای ورود هوا به داخل اتاق در سیستم‌های هیبریدی بهمراتب کمتر از سیستم‌های جابه‌جایی است که این عامل نیز باعث کم شدن مصرف انرژی می‌گردد. با استفاده از سیستم‌های هیبریدی علاوه‌بر تأمین شرایط آسایش حرارتی در زمان کمتر، اتلاف حرارت در سیستم‌های هیبریدی تا ۲۵ درصد کاسته می‌شود. همچنین مقدار انرژی لازم برای رساندن به شرایط آسایش تا ۱۹ درصد کاهش می‌یابد. به عبارت دیگر در سیستم‌های هیبریدی مصرف سوخت تا ۱۹ درصد کاهش می‌یابد. همچنین با تغییر مقاومت حرارتی دیواره‌ها معادل ۸ درصد کاهش انرژی ایجاد می‌گردد. شاخص آسایش حرارتی در سیستم‌های هیبریدی با مقاومت حرارتی مطلوب معادل ۰/۰۰۳۴ می‌باشد که نشان‌دهنده آسایش حرارتی مناسب گرمایشی براساس استانداردهای تهווیه مطبوع می‌باشد.

آسایش حرارتی به صفر نزدیک‌تر شده و شرایط آسایش تأمین می‌گردد. با توجه به اینکه قسمت‌هایی از بدن در تماس مستقیم با گرمکن‌های تابشی قرار دارد انتقال حرارت سریع‌تر صورت می‌گیرد و مقدار گرمای تابشی نیز افزایش می‌یابد. این امر باعث بهینه‌شدن شاخص پی ام وی می‌گردد. به طوری که در وضعیت اول شاخص برابر با -۰/۸۹ بوده است و در وضعیت دوم این شاخص به ۰/۰۰۳۴ رسیده است.

## جدول ۵: نرخ اتلاف حرارت از بدن، اتاق و مقادیر پی ام وی.

| حال                  | حال    | حال دوم | حالت سوم | حال    |
|----------------------|--------|---------|----------|--------|
| دمای متوسط           | ۲۴/۵   | ۲۴/۵۲   | ۲۵/۳     | ۲۶/۱۲  |
| رطوبت نسبی           | ۵۵/۳۶  | ۵۱/۲۳   | ۵۰/۴۶    | ۴۸/۶   |
| شار جابه‌جایی        | ۳۶/۶۸  | ۳۶/۱۶   | ۳۲/۸۶    | ۲۹/۴   |
| شار تابشی            | ۳۳/۶۱  | ۴۱/۲۲   | ۴۵/۲۲    | ۴۹/۸۱  |
| اتلافات(تعريق، تنفس) | ۳۵/۲۷  | ۲۵/۱۸   | ۲۲/۲۱    | ۱۹/۲۴  |
| کل شار از بدن        | ۱۰/۵۶  | ۱۰/۲۵۶  | ۱۰/۰۳    | ۹۸/۴۵  |
| شاخص پی ام وی        | -۰/۸۹  | -۰/۰۳۷  | -۰/۰۰۳۴  | -۰/۰۲۱ |
| اتلاف حرارت اتاق     | ۶۸۴/۶۱ | ۵۴۶/۲۸  | ۵۱۲/۸۳   | ۴۶۸/۱۸ |
| انرژی مصرفی          | ۳۵۴/۶۸ | ۳۰۸/۴۱  | ۲۸۶/۵۷   | ۲۶۳/۳۹ |

براساس اطلاعاتی که از حل معادلات حاکم بر انتقال حرارت بین انسان و محیط پیرامون آن در حالت هیبریدی بهینه‌شده به دست آمده است، نرخ انتقال حرارت جابه‌جایی ۳۴ درصد، نرخ انتقال حرارت تابشی حدود ۴۱ درصد کل، انتقال حرارت تبخری به‌واسطه تعريع، تنفس و تبخیر معادل ۲۴ درصد کل انتقال حرارت از بدن می‌باشد.

چنان‌که مشاهده می‌شود در سیستم‌های هیبریدی توزیع سرعت و دما در اطراف شخص کاملاً متقاضان می‌باشد؛ درنتیجه نارضایتی ناشی از تابش نامتقارن در محدوده استاندارد قرار می‌گیرد و محدوده سکون که سرعت آن صفر می‌باشد و باعث نارضایتی یا عدم آسایش حرارتی می‌شود به کمترین مقدار خود رسیده است. براساس جدول ۵ علاوه‌بر تأمین شرایط آسایش حرارتی، تلفات حرارتی که از دیواره‌ها در حالت دوم انجام می‌شود بسیار کمتر از تلفات حرارتی در حالت اول می‌باشد. با تبدیل شرایط گرمایشی از صرفاً جابه‌جایی به ترکیبی مقدار تلفات تا ۲۵ درصد کاهش یافته است. براساس مدل‌سازی این فضای نمونه با نرم‌افزار انرژی پلاس و مقایسه میزان مصرف انرژی بین حالت اول (سیستم گرمایشی معمولی) و وضعیت سوم (سیستم هیبریدی) صرفه‌جویی ۱۹ درصدی در مصرف سوخت ایجاد گردیده است، علاوه‌بر آن شار حرارتی خروجی از سطح مدل نیز بسیار کمتر شده است. همچنین با تغییر در مقاومت دیواره‌ها در حالت چهارم نسبت

## ۱۲- مراجع

17. Hosieni Moghadam, A. and Keshavarz, A., "Numerical Analysis Of Convective Heat Transfer in Residential Room in order to Thermal Comfort Conditions", M. S Final Project, 2012, (in persian).
18. Kilic M., Sevilgen G., "Numerical analysis of Air Flow, Heat Transfer, Moisture Transport and Thermal Comfort in a Room Heated by Two-Panel Radiators", Energy And Buildings, Vol. 43, pp. 137-146,2011.
1. Stolwijk, J. "A Mathematical Model of Physiological Temperature Regulation in Man", Washington, DC, National Aeronautics and Space Administration, 1971.
2. Fanger P.O. "Thermal Comfort Analysis and Application in Environmental Engineering", McGraw-Hill, New York, 1970.
3. Olesen, B.W., Mortensen, E. and Thorshauge J. "Thermal Comfort in a Room Heated by Different Methods", Technical Paper, Los Angles Meeting. ASHRAE Transactions, Vol. 86, No. 2256, 1980.
4. Hutter E. "Comparison of Different Heat Emitters in Respect of Thermal Comfort and Energy Consumption", In Proceeding of the Int. Center for Heat and Mass Transfer, Heat and Mass Transfer in Building Material and Structures, pp. 753-769, 1991.
5. Wyon D.P., Fanger P.O., Olesen B.W., and Pedersen C.J.K. "The Mental Performance of Subjects Clothed for Comfort at Two Different Air Temperatures", Ergonomics 18, pp. 358-374, 1975.
6. De Dear, R.J. and Bragger, G.S. "Developing an Adaptive Model of Thermal Comfort and Preference", ASHRAE Trans. Vol. 104, pp.145-167, 1998.
7. ASHRAE Handbook-Fundamental, American Society of Heating, Refrigeration and Air-Conditioning Engineers, Ch. 8, Atlanta 2001.
8. Zolfaghari, S.A. and Marefat, M. "New Scales Design of HVAC Systems in Buildings Based on Thermal Comfort", Second National Conference of Novel Building Technologies, December 2010, ( in Persian).
9. Ergin, S. and Zkan, O. "Measurements and Numerical Modeling of Natural Convection in a Stairwell", PhD Thesis, Dept. of Mech. Eng., Brunel University, England, 1993.
10. Chen, Q. "Comfort and Energy Consumption Analysis in Buildings with Radiant Panels", Energy and Buildings, Vol. 14. pp. 287 – 297, 1990.
11. Prek, M. "Thermodynamic Analysis of Human Heat and Mass Transfer and their Impact on Thermal Comfort", Int. J. Heat Mass Transfer, Vol. 48, pp. 731–739, 2005
12. HENSEN, J.L.M., "Literature Review on Thermal Comfort in Transient Conditions" Building and Environment, Vol. 25, No. 4, pp. 309-316, 1990.
13. Jeet, S.K., Chapman, S., and Keshavarz, A. "Window Performance for Human Thermal Comfort", 4765 ,RP -1126.
14. Kilic, M. and Sevilgen, G. "Modeling Airflow, Heat Transfer and Moisture Transport around A Standing Human Body by Computational Fluid Dynamics", Int. Comm. in Heat and Mass Transfer, Vol. 35, pp. 1159-1164, 2008.
15. White, F.M. "Viscous Fluid Flow", 2nd ed., McGraw Hill, New York, 2006
16. Murakum, S., Kato, S., and Nakagawa, H. "Numerical Prediction of Horizontal Non-Isothermal 3-D Jet in Room Base on K – E Model", ASHRAE transactions, Vol. 97, pp. 38-48, 1991.